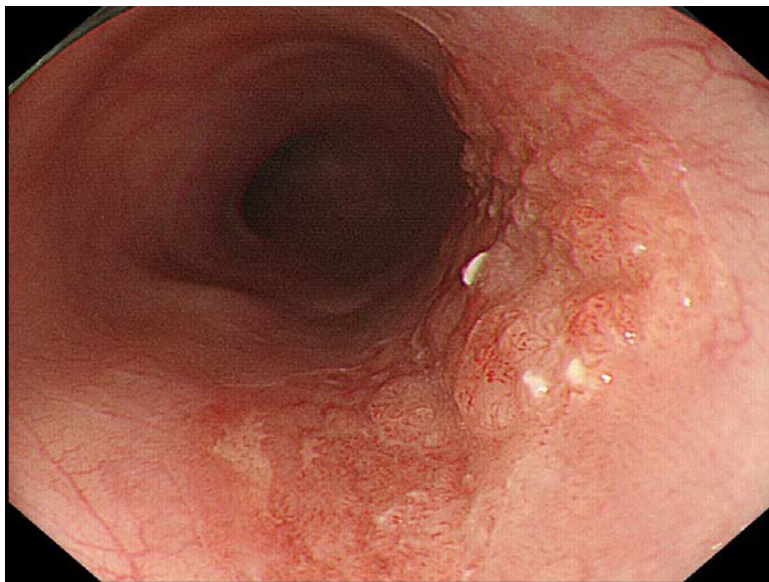
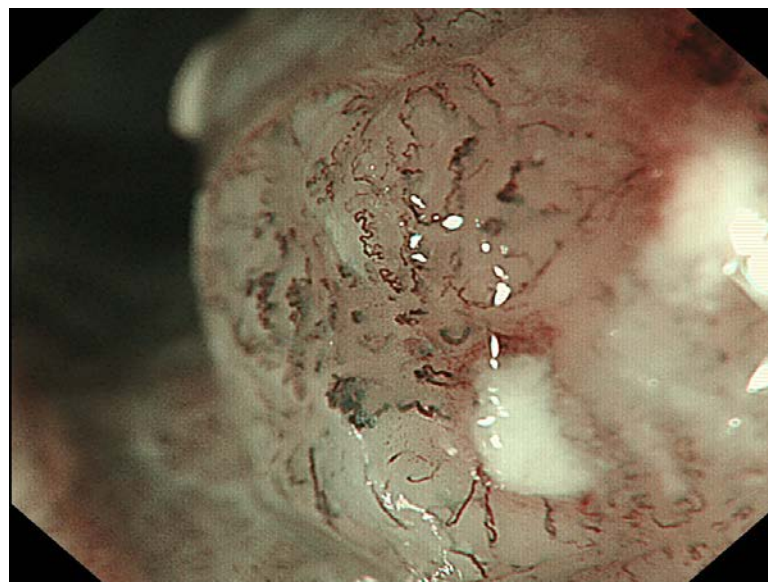


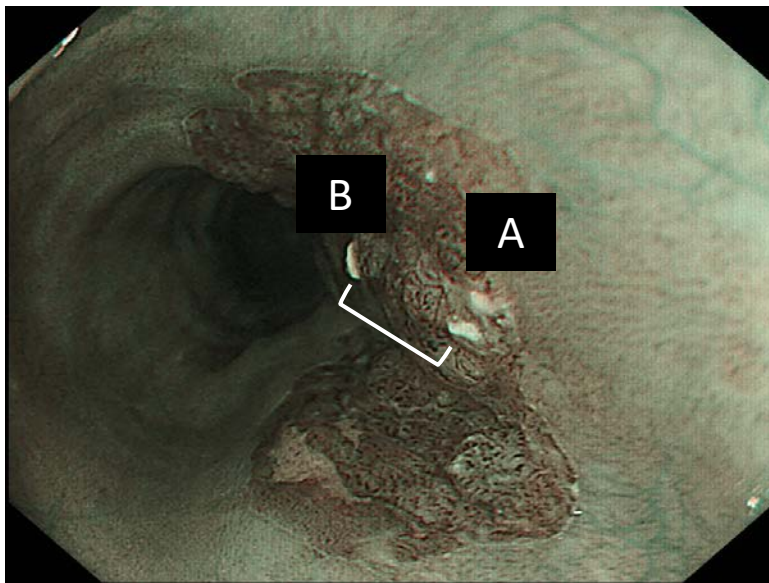
a



b



c



d

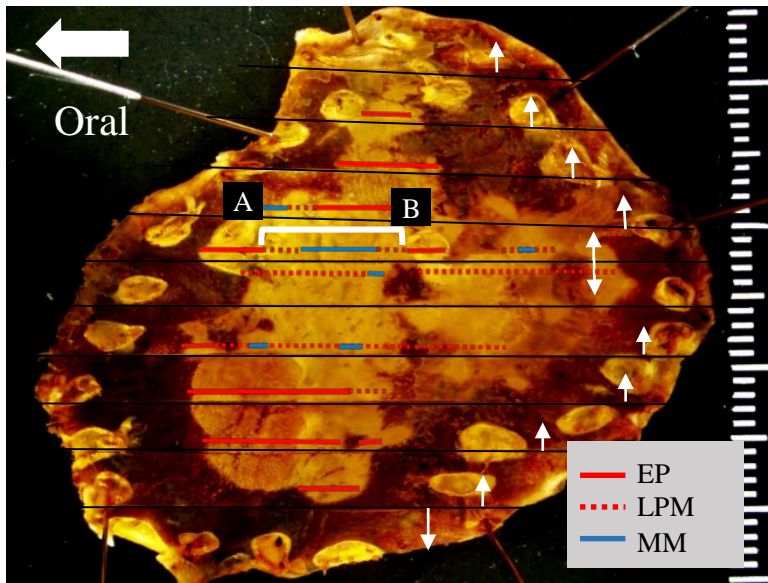
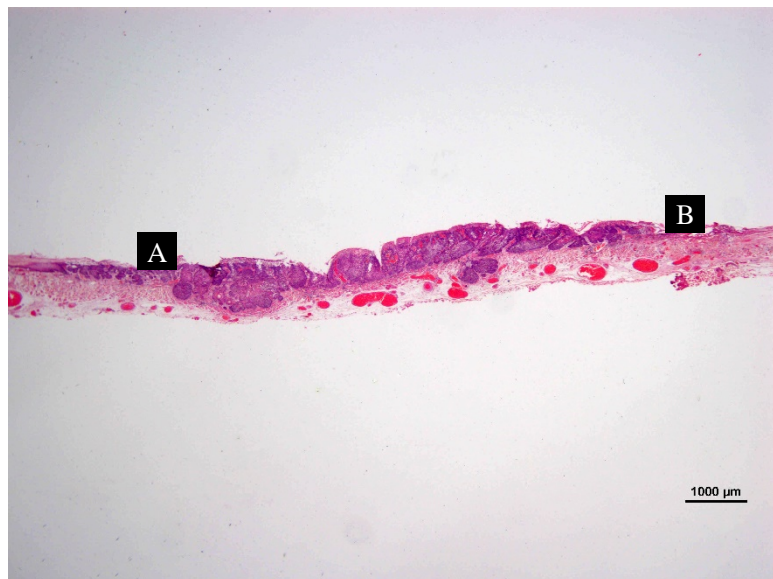


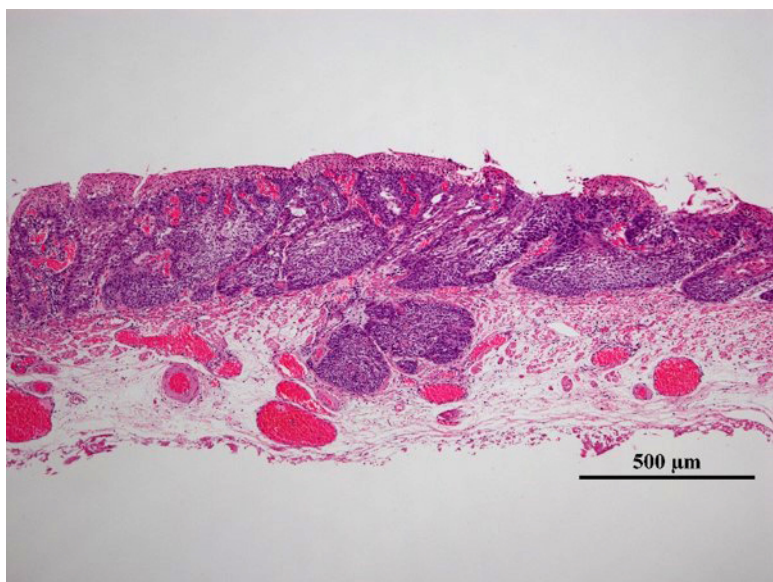
図1. IPCL-V3領域サイズの測定

a) 通常光観察による内視鏡像. b) 腫瘍内のIPCL-V3領域の拡大NBI内視鏡像. c) 腫瘍内のIPCL-V3血管が観察される領域の両端に対する2点マーキング(A, B). d) 実体顕微鏡写真上で2点マーキングを同定し、IPCL-V3領域のサイズ (mm) を計測.

a



b



c

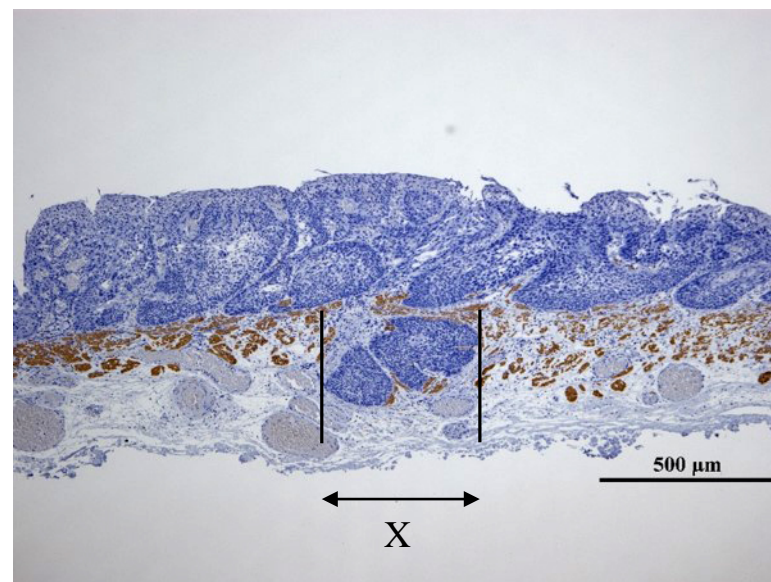


図2. 粘膜筋板への水平方向浸潤幅の計測

2点マーキング (A, B) を確認 (a) . 粘膜筋板への浸潤はHE染色標本 (b) に加え, Desmin 免疫染色標本 (c) で確認し、その水平方向の浸潤幅(X) を計測.

表1. IPCL-V3血管を示した食道扁平上皮癌の臨床病理学的特徴

	n=51
年齢 (平均±標準偏差)	69±10歳
性別	
男性	46
女性	5
腫瘍の大きさ	
中央値 (範囲)	31 (7-90) mm
深達度	
pT1a-LPM	5
pT1a-MM	28
pT1b-SM1	3
pT1b-SM2	15
粘膜筋板水平方向浸潤幅	
中央値 (範囲)	1750 (0-9200) μm
分化度	
高分化	22
中分化	24
低分化	5
浸潤様式	
INF a	21
INF b	22
INF c	8

表2. IPCL-V3領域における腫瘍深達度と領域サイズ

	IPCL-V3領域の腫瘍深達度		
	pT1a-LPM	pT1a-MM/ pT1b-SM1	pT1b-SM2
	(n=5)	(n=31)	(n=15)
IPCL-V3領域サイズ			
1-4 mm	3	18	3
5-9 mm	2	11	1
10-14 mm	0	1	10
15-19 mm	0	1	1

pT1a-LMP vs. pT1a-MM/pT1b-SM1: p=0.950
pT1a-LMP vs. pT1b-SM2: p<0.05
pT1a-MM/pT1b-SM1 vs. pT1b-SM2: p<0.001
(Fisher's exact test)

表3. IPCL-V3 領域サイズと 病理組織学的特徴

	IPCL-V3領域サイズ (mm)		P
	< 10 mm (n=38)	≥ 10 mm (n=13)	
深達度			
pT1a-LPM	5	0	< 0.001
pT1a-MM/pT1b-SM1	29 [*]	2 ⁺	
pT1b-SM2	4 ⁺	11 [*]	
粘膜筋板への水平方向浸潤幅			
< 4000 μm	35	2	< 0.001
≥ 4000 μm	3	11	
分化度			
高分化	17	5	0.723
中分化	18	6	
低分化	3	2	
浸潤様式			
INF a	16	5	0.245
INF b	18	4	
INF c	4	4	

^{*} 有意に多い (p < 0.05), [†] 有意に少ない (p < 0.05), 残差分析

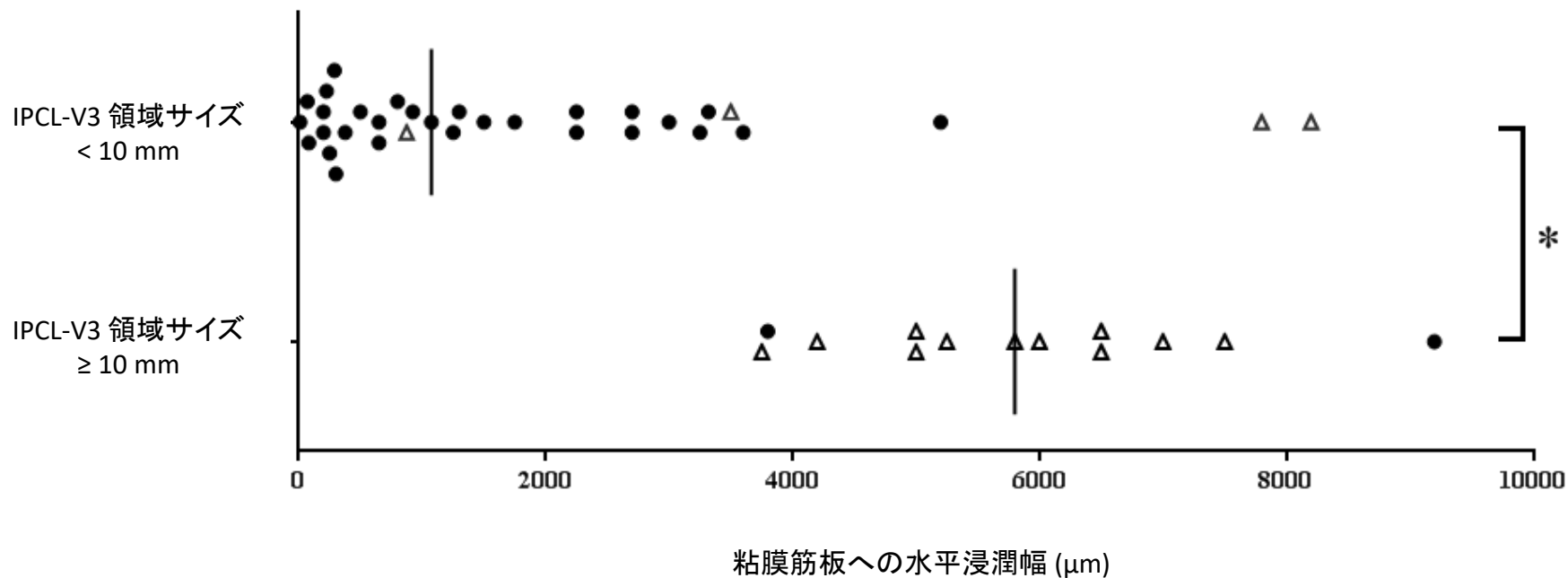


図3. IPCL-V3 領域サイズと粘膜筋板への水平浸潤幅

縦棒は中央値. * $p < 0.001$

●pT1a-MM/pT1b-SM1 (浸潤幅中央値 1075 μm) vs. △pT1b-SM2 (浸潤幅中央値 5800 μm): $p < 0.001$.